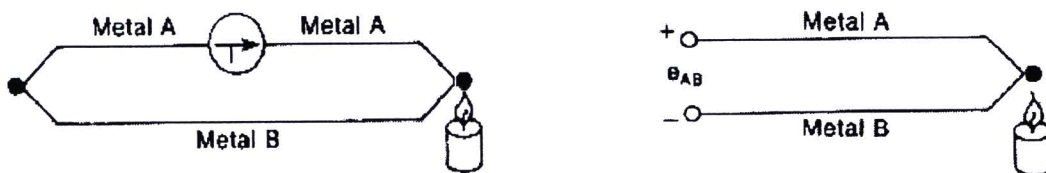


## บทที่ 2 ทฤษฎีและงานวิจัยที่เกี่ยวข้อง

### 2.1 การทำความเย็นโดยเทอร์โมอิเล็กทริก

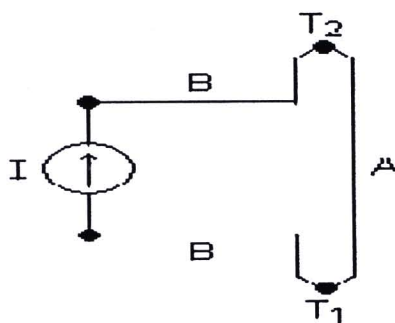
ในปี ค.ศ. 1892 นักวิทยาศาสตร์ชาวเยอรมัน Thomas seebeck ทำการศึกษาพบว่าเมื่อนำขดลวดโลหะ 2 เส้นที่ทำด้วยโลหะต่างชนิดกันมาเชื่อมต่อกันเข้าด้วยกัน ถ้าปลายจุดต่อทั้งสองมีอุณหภูมิต่างกัน จะเกิดกระแสไฟฟ้าไหลในวงจรเส้นลวดทั้งสองตามรูปที่ 2.1 (ก) ปริมาณการไหลของกระแสไฟฟ้าเปลี่ยนแปลงไปตามผลต่างอุณหภูมิที่ปลายจุดทั้งสอง และถ้าเปิดปลายจุดต่อด้านหนึ่งออกจะทำให้เกิดแรงเคลื่อนไฟฟ้าที่ปลายด้านเปิด แรงเคลื่อนไฟฟ้านี้เรียกว่า “ซีเบ็ค โวลเตจ”



รูปที่ 2.1 ปรากฏการณ์ซีเบ็ค

[รูปจาก <http://www.datatrackpi.com/technical-papers/how-does-a-thermocouple-work.htm>]

ต่อมาในปี ค.ศ. 1836 Jean C.A.Peltier พบว่าเมื่อผ่านกระแสไฟฟ้าเข้าไปในวงจรลักษณะเดียวกับที่ซีเบ็คสร้างขึ้น โดยใช้ลวดด้านหนึ่งทำจากบิสมัท (Bismuth) และอีกด้านหนึ่งทำจากแอนติโมนี (Antimony) จะทำให้เกิดอุณหภูมิที่ปลายจุดต่อที่แตกต่างกัน โดยปลายข้างหนึ่งจะร้อนและอีกปลายข้างหนึ่งจะเย็นลง วงจรการทดลองของเพลเทียร์เป็นดังรูปที่ 2.2



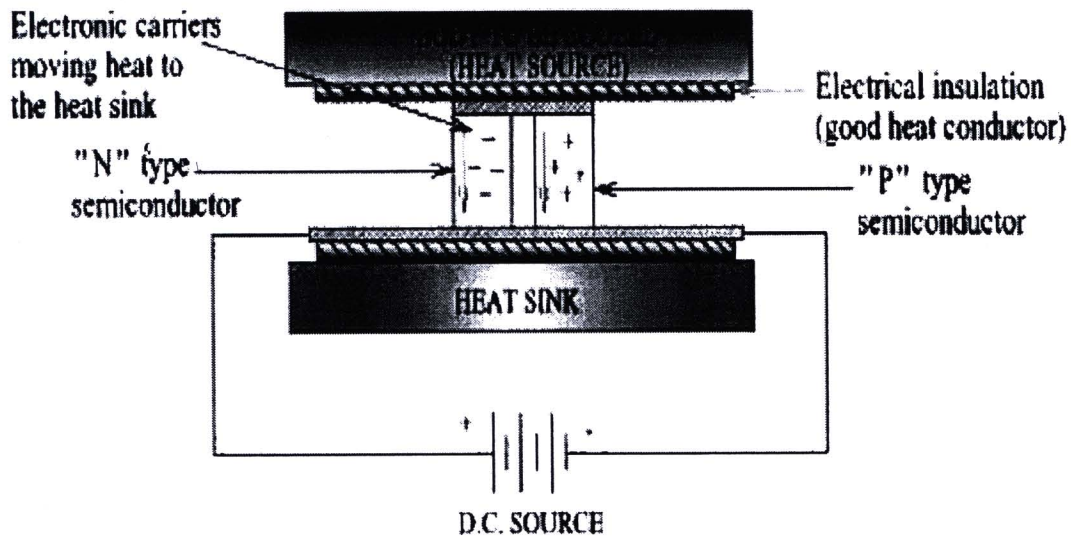
รูปที่ 2.2 ปรากฏการณ์เพลเทียร์

[รูปจาก [http://commons.wikimedia.org/?title=File:Peltier\\_effect\\_circuit.png](http://commons.wikimedia.org/?title=File:Peltier_effect_circuit.png)]

เมื่อมีกระแสจากแหล่งภายนอกไหลผ่านเข้าไปวงจรดังรูปที่ 2.2 จะทำให้จุดต่อ  $T_2$  มีอุณหภูมิสูงกว่าจุดต่อ  $T_1$  ซึ่งจากการค้นพบของซีเบ็คและเพลเทียร์ทำให้เกิดการค้นคว้าเกี่ยวกับเทอร์โมอิเล็กทริกต่อมา

### 2.1.1 หลักการทำงานของเทอร์โมอิเล็กทริก

เทอร์โมอิเล็กทริกโมดูล (Thermoelectric Module) สร้างจากวัสดุกึ่งตัวนำโดยใช้หลักการการทำงานของปัมป์ความร้อน แสดงดังรูปที่ 2.3

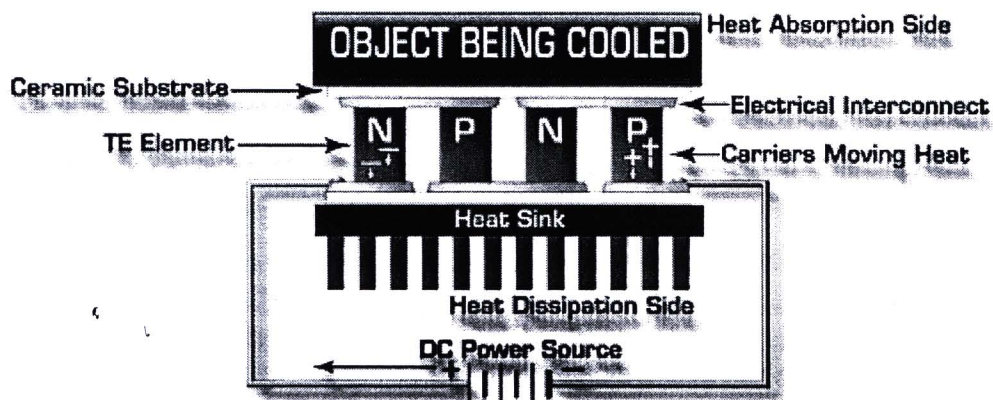


รูปที่ 2.3 หน้าตัดของตู้เทอร์โมคัปเปิลภายในเทอร์โมอิเล็กทริก

[รูปจาก <http://www.tetech.com/FAQ-Technical-Information.html>]

จากรูปที่ 2.3 เมื่อป้อนกระแสไฟฟ้ากระแสตรงให้กับเทอร์โมอิเล็กทริกโมดูลที่ใช้สารกึ่งตัวนำแบบพี-เอ็น (P-N Type) กระแสที่ไหลผ่านวัสดุที่ทำจากสารกึ่งตัวนำต่างชนิดกัน ส่งผลให้เกิดความต่างศักย์ทางไฟฟ้าและทำให้มีความแตกต่างกันของอุณหภูมิเกิดขึ้นระหว่างขั้วทั้งสอง โดยเมื่อแรงดันไฟฟ้าด้านบวก (Positive DC Voltage) ไหลผ่านวัสดุกึ่งตัวนำแบบเอ็น (N Type) จะส่งผลให้เกิดการเคลื่อนที่ของอิเล็กตรอนที่เคลื่อนที่จากพลังงานระดับต่ำสารกึ่งตัวนำแบบพี (P-Type) สู่อิเล็กตรอนระดับสูงสารกึ่งตัวนำแบบเอ็น (N Type) ส่งผลให้เกิดความเย็นที่ด้านเย็น (Heat Sink) และในขณะเดียวกันก็เกิดการเคลื่อนที่ของอิเล็กตรอนที่เคลื่อนที่จากระดับพลังงานสูงของสารกึ่งตัวนำแบบเอ็น (N Type) สู่อิเล็กตรอนระดับต่ำในสารกึ่งตัวนำแบบพี (P-Type) ส่งผลให้เกิดความร้อนที่ด้านร้อน (Heat Source) ปฏิกิริยาที่เกิดขึ้นเรียกว่าปรากฏการณ์ของเพลเทียร์ (Peltier effect) นำไปสู่การประยุกต์ใช้ด้านเย็นในการทำความเย็น และความร้อนที่เกิดขึ้นในขณะที่ทำความเย็นจะถูกระบายทิ้งให้กับบรรยากาศแวดล้อม ลักษณะการเชื่อมต่อของวัสดุกึ่งตัวนำแบบเอ็นและแบบพี จะมีลักษณะการต่อเป็นคู่ๆ แบบอนุกรมและแบบขนาน โดยทางด้านไฟฟ้าเป็นการต่อแบบอนุกรมเพื่อให้ได้ขนาดของพลังงานไฟฟ้า

ที่เหมาะสมกับความต้องการและด้านการทำความร้อน และความเย็นเป็นการเชื่อมต่อแบบขนานเพื่อเพิ่มความสามารถในการทำความเย็นให้ดีขึ้น ดังรูปที่ 2.4



รูปที่ 2.4 ส่วนประกอบเทอร์โมอิเล็กทริก

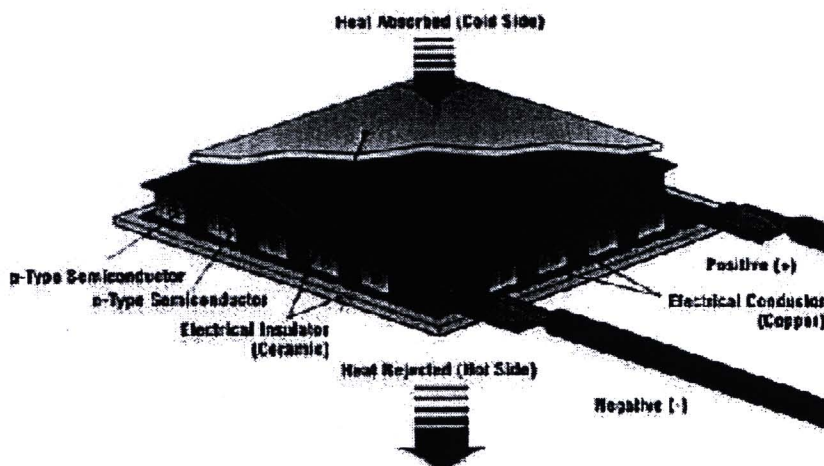
[รูปจาก <http://www.peltier-info.com/photos.html>]

## 2.1.2 เทอร์โมอิเล็กทริกโมดูล

เทอร์โมอิเล็กทริก โมดูลสามารถออกแบบตามลักษณะได้สองแบบคือ

### 2.1.2.1 เทอร์โมอิเล็กทริกแบบชั้นเดียว (Single-Stage Peltier Module)

มีส่วนประกอบที่สำคัญดังรูปที่ 2.5



รูปที่ 2.5 เทอร์โมอิเล็กทริกแบบชั้นเดียว

[รูปจาก <http://www.customchill.com/pages/techsolid.php> ]

เทอร์โมอิเล็กทริก โมดูลแบบชั้นเดียว เป็นเทอร์โมอิเล็กทริกที่มีผลต่างของอุณหภูมิด้านร้อนกับด้านเย็นในการใช้งานไม่สูง ซึ่งมีค่าประมาณ  $67^{\circ}\text{C}$  ซึ่งเป็นค่าผลต่างของอุณหภูมิในขณะที่ไม่มีการให้ความร้อน ลักษณะของเทอร์โมอิเล็กทริกมีหลายรูปหลายแบบ ทั้งขนาดและรูปร่าง อีกทั้งมีสมบัติหลายอย่างให้เลือกตามลักษณะการใช้งานเช่น ค่ากระแสไฟฟ้าค่าแรงดันไฟฟ้าและความสามารถในการถ่ายเทความร้อน โดยสามารถสรุปลักษณะและสมบัติได้ดังนี้คือ

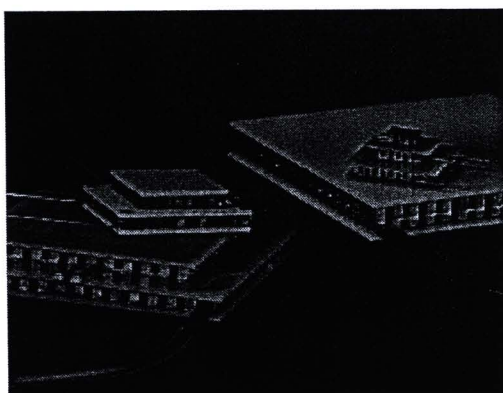
1. ขนาดพื้นที่ผิวหน้าเซรามิก  $1.8 \times 3.4$  ตารางมิลลิเมตรถึง  $62 \times 62$  ตารางมิลลิเมตร
2. ขนาดความสูงตั้งแต่ 2.54 มิลลิเมตร ถึง 5.8 มิลลิเมตร
3. ค่าการถ่ายเทความร้อนสูงสุดตั้งแต่ 0.2 ถึง 125 วัตต์
4. ค่ากระแสสูงสุดตั้งแต่ 0.8 แอมแปร์ ถึง 60 แอมแปร์
5. ค่าแรงดันสูงสุดตั้งแต่ 0.4 โวลท์ ถึง 15.4 โวลท์

#### 2.1.2.2 เทอร์โมอิเล็กทริกแบบหลายชั้น (Multistage Thermoelectric Module)

เป็นเทอร์โมอิเล็กทริกที่มีการต่อตั้งแต่ 2 ชั้นขึ้นไป ลักษณะของเทอร์โมอิเล็กทริกแบบหลายชั้นแสดงดังรูปที่ 2.6 ลักษณะและสมบัติของเทอร์โมอิเล็กทริกแบบหลายชั้น ที่สำคัญคือ

1. พื้นที่ผิวด้านเย็นมีขนาดตั้งแต่  $3.2 \times 3.2$  ตารางมิลลิเมตร ถึง  $62 \times 62$  ตารางมิลลิเมตรและพื้นที่หน้าตัดด้านร้อนขนาดตั้งแต่  $3.8 \times 3.8$  ตารางมิลลิเมตร ถึง  $62 \times 62$  ตารางมิลลิเมตร
2. ขนาดความสูงตั้งแต่ 3.8 มิลลิเมตร ถึง 21.4 มิลลิเมตร
3. ค่าการถ่ายเทความร้อนสูงสุดตั้งแต่ 0.39 ถึง 59 วัตต์
4. ค่ากระแสสูงสุดตั้งแต่ 0.7 แอมแปร์ ถึง 9.5 แอมแปร์
5. ค่าแรงดันสูงสุดตั้งแต่ 0.8 โวลท์ ถึง 14 โวลท์

ซึ่งจำนวนชั้นของเทอร์โมอิเล็กทริกแบบหลายชั้น มีการเชื่อมต่อดังต่อไปนี้ 2 ชั้น จนถึง 6 ชั้น



รูปที่ 2.6 เทอร์โมอิเล็กทริกแบบหลายชั้น

[รูปจาก <http://sites.google.com/site/prakashelectronicscom/thermo-electric-module>]

ก่อนการเลือกใช้เทอร์โมอิเล็กทริกโมดูล ควรมีการหาค่าตัวแปรที่สำคัญเบื้องต้น 3 อย่าง คือ อุณหภูมิ ด้านเย็นของเทอร์โมอิเล็กทริก (Cold Surface Temperature,  $T_c$ ) และปริมาณความร้อนที่ต้องการถ่ายเท ออกที่ผิวด้านเย็นของเทอร์โมอิเล็กทริก (Hot Surface Temperature,  $T_h$ ) และปริมาณความร้อนที่ ต้องการถ่ายเทออกที่ผิวด้านเย็นของเทอร์โมอิเล็กทริก ( $Q_c$ ) เพื่อเป็นข้อมูลในการเลือกใช้เทอร์โมอิเล็กทริกโมดูลที่เหมาะสมต่อไป การถ่ายเทความร้อนที่ด้านร้อนของเทอร์โมอิเล็กทริกมีความสำคัญต่อการทำความเย็นของเทอร์โมอิเล็กทริกมากเพราะถ้าไม่สามารถถ่ายเทความร้อนที่ด้านร้อนของเทอร์โมอิเล็กทริกออกได้ ด้านเย็นของเทอร์โมอิเล็กทริกก็จะไม่สามารถเย็นลงได้ โดยตัวแปรที่สำคัญในการถ่ายเทความร้อนของเทอร์โมอิเล็กทริกด้านร้อน คือ อุณหภูมิแวดล้อมที่รองรับความร้อนที่ถ่ายเทจากเทอร์โมอิเล็กทริก และประสิทธิภาพของอุปกรณ์แลกเปลี่ยนความร้อน ซึ่งข้อมูลการทดสอบการถ่ายเทความร้อนของ Melcor Corporation ได้แสดงค่าประมาณการถ่ายเทความร้อนไว้ดังนี้

- การถ่ายเทความร้อนด้วยอากาศโดยการพาความร้อนด้วยครีบบังคับ (Finned forced air) มีค่าอุณหภูมิด้านร้อนของเทอร์โมอิเล็กทริกสูงกว่าอุณหภูมิแวดล้อมประมาณ  $10^{\circ}\text{C}$  ถึง  $15^{\circ}\text{C}$
- การถ่ายเทความร้อนด้วยอากาศโดยการพาความร้อนแบบธรรมชาติ (Free convection air) มีค่าอุณหภูมิด้านร้อนของเทอร์โมอิเล็กทริกสูงกว่าอุณหภูมิแวดล้อมประมาณ  $15^{\circ}\text{C}$  ถึง  $20^{\circ}\text{C}$
- การถ่ายเทความร้อนด้วยของเหลว มีค่าอุณหภูมิด้านร้อนของเทอร์โมอิเล็กทริกสูงกว่าอุณหภูมิของเหลวประมาณ  $2^{\circ}\text{C}$  ถึง  $5^{\circ}\text{C}$

## 2.1.3 สมการในการคำนวณการทำความเย็นด้วยเทอร์โมอิเล็กทริก

### 2.1.3.1 อัตราการถ่ายเทความร้อนที่ด้านเย็น (Heat Pumped at Cold Surface, $Q_c$ )

อัตราการถ่ายเทความร้อนด้านที่เย็น คำนวณได้ดังสมการ 2.1

$$Q_c = \alpha IT_c - \frac{1}{2} I^2 R - K_t \Delta T \quad (2.1)$$

โดยที่  $Q_c$  คือ อัตราการถ่ายเทความร้อนที่ด้านเย็น (W)

$\alpha$  คือ สัมประสิทธิ์ของซีเบ็ค (V/K)

$I$  คือ กระแสไฟฟ้า (Amp)

$T_c$  คือ อุณหภูมิด้านเย็นของเทอร์โมอิเล็กทริก (K)

$K_t$  คือ ค่าความนำความร้อนของ Thermoelectric Element (W/K)

$\Delta T$  คือ ผลต่างระหว่างอุณหภูมิด้านร้อนและอุณหภูมิด้านเย็น (K)

$R$  คือ ความต้านทานทางไฟฟ้าของเทอร์โมอิเล็กทริก ( $\Omega$ )

### 2.1.3.2 ค่ากระแสไฟฟ้าที่ใช้งาน

เป็นค่ากระแสที่ไหลเข้าไปทำงานให้ตัวเทอร์โมอิเล็กทริก กระแสไฟฟ้าที่จ่ายเข้าไปขึ้นอยู่กับค่าสัมประสิทธิ์ซีเบ็ค ค่าผลต่างอุณหภูมิด้านร้อนและด้านเย็น และค่าความต้านทานของตัวเทอร์โมอิเล็กทริก ดังสมการที่ 2.2

$$I = \frac{V - \alpha(T_h - T_c)}{R} \quad (2.2)$$

### 2.1.3.3 กำลังไฟฟ้าที่ป้อนให้เทอร์โมอิเล็กทริก

เป็นค่ากำลังที่ทำให้เทอร์โมอิเล็กทริกทำงาน หาได้จากสมการ 2.3

$$P_{in} = \alpha I \Delta T + I^2 R \quad (2.3)$$

โดยที่  $P_{in}$  คือ กำลังไฟฟ้าที่ป้อนให้เทอร์โมอิเล็กทริก (W)

### 2.1.3.4 สมรรถนะการทำความเย็น (COP)

เป็นการหาสมรรถนะในการทำความเย็นของเทอร์โมอิเล็กทริก เป็นอัตราส่วนระหว่างความเย็นที่ตัวเทอร์โมอิเล็กทริกทำได้กับกำลังไฟฟ้าที่จ่ายให้ตัวเทอร์โมอิเล็กทริก

$$COP = \frac{Q_c}{P_{in}} \quad (2.4)$$

จากการศึกษาของ Molcor Corporation [3] ได้แสดงค่าพารามิเตอร์ที่สำคัญต่างของเทอร์โมอิเล็กทริก โมดูลดังแสดงตารางที่ 2.1

ตารางที่ 2.1 พารามิเตอร์ทั่วไปของเทอร์โมอิเล็กทริก

Definiton	Symbol	Value
Seebeck Coefficient	$\alpha$	$4.4 \times 10^{-2}$ (volt/kelvin)
Resistivity	$\rho$	$1.0 \times 10^{-3}$ (ohm cm)
Device Thermal Conductance	K	$4.95 \times 10^{-1}$ (watt/Kelvin)
Figure of Merit	Z	$2.67 \times 10^{-3}$ (Kelvin)

## 2.1 ภาวะความเย็นในหมวกนิรภัยสำหรับรถจักรยานยนต์ (หมวกกันน็อก)

ภาวะความเย็นภายในหมวกนิรภัยสำหรับรถจักรยานยนต์เป็นผลรวมของแหล่งความร้อนที่มาจากสิ่งแวดล้อมภายนอกหมวกนิรภัยกับความร้อนที่มาจากศีรษะของผู้สวมใส่ โดยสมการภาวะทำความเย็นทั้งหมดแสดงดังสมการที่ 2.5

$$Q_{net} = Q_{ab} + Q_{head} \quad (2.5)$$

โดยที่

- $Q_{net}$  คือ ค่าภาวะทำความเย็นทั้งหมด
- $Q_{ab}$  คือ ค่าภาวะความร้อนจากสิ่งแวดล้อมภายนอกหมวก
- $Q_{head}$  คือ ค่าภาวะความร้อนจากศีรษะผู้สวมใส่หมวกนิรภัย

### 2.2.1 ค่าภาวะความร้อนที่มาจากผู้สวมใส่หมวกนิรภัย

ความร้อนที่มาจากศีรษะเป็นความร้อนที่มาจากผิวของศีรษะ โดยการถ่ายเทความร้อนด้วยการพา ความร้อนและการแผ่รังสีความร้อน เราสามารถคำนวณความร้อนที่ได้จากศีรษะโดยสมการที่ 2.6

$$\begin{aligned} Q_{head} &= Q_{conv} + Q_{rad} \\ &= h_c (T_s - T_{in}) + \epsilon \sigma (T_s^4 + T_{in}^4) \end{aligned} \quad (2.6)$$

โดยที่

- $h_c$  คือ ค่าสัมประสิทธิ์การพาความร้อน
- $\sigma$  คือ ค่าคงที่สเตฟาน-โบลซ์มานส์
- $\epsilon$  คือ ค่าการเปล่งรังสีของผิว
- $T_s$  คือ อุณหภูมิที่ผิวบริเวณศีรษะ
- $T_{in}$  คือ อุณหภูมิภายในหมวกกันน็อก
- $T_a$  คือ อุณหภูมิสิ่งแวดล้อม

### 2.2.2 ภาวะความร้อนที่มาจากสิ่งแวดล้อมภายนอกหมวกนิรภัย

ภาวะส่วนนี้ คือ อัตราการนำความร้อนไหลผ่านจากภายนอกของหมวกมายังภายในหมวกโดยการถ่ายเทความร้อนด้วยการนำความร้อนของอุณหภูมิภายนอกหมวกผ่านฉนวนเข้ามายังภายใน สามารถคำนวณได้ดังสมการที่ 2.7

$$Q_{ab} = \frac{\Delta T}{\left( \frac{\Delta x_1}{k_1 A_1} \right) + \left( \frac{\Delta x_2}{k_2 A_2} \right) + \left( \frac{\Delta x_3}{k_3 A_3} \right)} \quad (2.7)$$

$\Delta T$  คือ ความแตกต่างระหว่างอุณหภูมิสิ่งแวดล้อมกับอุณหภูมิภายในหมวก

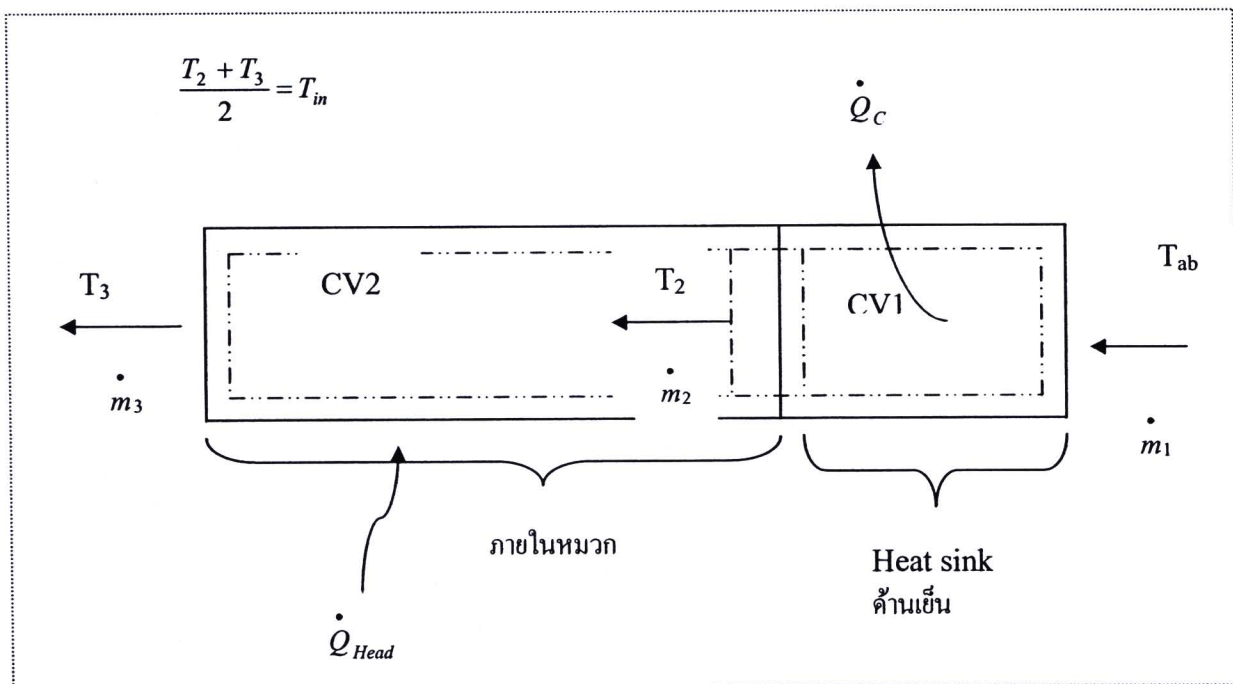
$k$  คือ ค่าคงที่การนำความร้อนของวัสดุแต่ละชนิด

$A$  คือ พื้นที่หน้าตัดของ ฉนวนแต่ละชนิด

$\Delta x_i$  คือ ความหนาของวัสดุแต่ละชนิด

## 2.2 การวิเคราะห์การถ่ายเทความร้อนภายในหมวก

การวิเคราะห์การถ่ายเทความร้อนภายในหมวก โดยปริมาตรควบคุม จุดประสงค์เพื่อที่จะได้รู้ว่าการถ่ายเทความร้อนที่ถูกลดออกจากภายในหมวกกันน็อกไปสู่สิ่งแวดล้อมมีปริมาณเท่าใด



รูปที่ 2.7 ปริมาตรควบคุมภายในหมวกกันน็อก

จากรูปที่ 2.7 ระบบแลกเปลี่ยนความร้อนในหมวกกันน็อกจะแบ่งเป็น 2 ช่วง คือปริมาตรควบคุม ช่วงแรกอากาศที่อุณหภูมิแวดล้อมจะเข้ามาในหมวกและถูกทำให้เย็นโดย Heat Sink ด้านเย็น อากาศ

เย็นจะผ่านเข้าไปในปริมาตรควบคุมช่วงที่ 2 เพื่อไปแลกเปลี่ยนความร้อนที่ผลิตจากศิระษผู้สวมใส่  $\dot{Q}_{out}$  คำนวณได้จากสมการสมดุลพลังงานที่ 2.8 และ 2.9

$$\dot{Q}_C + \dot{m}_1(h_1 - h_2) = 0 \quad (2.8)$$

$$\dot{Q}_{Head} + \dot{m}_2 h_2 - \dot{m}_3 h_3 = 0 \quad (2.9)$$

Enthalpy =  $h_i = h(T_i)$  คือ เอนทาลปีของอากาศที่อุณหภูมิหนึ่งๆ

อุณหภูมิที่ได้ในหมวกกันน็อกจะมีค่าเท่ากับค่าเฉลี่ยของอุณหภูมิขาเข้าและอุณหภูมิขาออกของปริมาตรควบคุมที่สอง ดังสมการ (2.10)

$$\left( \frac{T_2 + T_3}{2} \right) = T_{in} \quad (2.10)$$

## 2.4 ความชื้น (Moisture)

### 2.4.1 การระเหย (Evaporation)

ภาระทางความร้อนที่ออกมาจากศิระษส่วนใหญ่อยู่ในรูปของความร้อนแฝง (Latent heat) เช่น ไอน้ำ เป็นต้น ซึ่งถือว่ามีผลต่อการพิจารณาการถ่ายเทความร้อนของระบบหรือปริมาตรอ้างอิงที่กำหนดขึ้น มวลที่มาจากภาระระเหยเนื่องจากความร้อนสะสมจากศิระษทำให้อัตราการไหลที่ออกจากปริมาตรอ้างอิงที่ 2 เพิ่มขึ้น (รูปที่ 2.7) อัตราการไหลที่เพิ่มขึ้นคำนวณได้จากสมการอัตราการระเหยของน้ำ ดังสมการที่ 2.11

$$\dot{m}_{evap} = \frac{\dot{Q}_{Head}}{h_{fg}(T_{CV2})} \quad (2.11)$$

อัตราการไหลที่ออกมาจากปริมาตรอ้างอิงที่ 2 (รูปที่ 2.7) ได้ดังสมการ 2.12

$$\dot{m}_3 = \dot{m}_2 + \dot{m}_{evap} \quad (2.12)$$

ใช้สมบัติของเอนทัลปีของน้ำที่อุณหภูมิเฉลี่ยในหมวกเพื่อหาค่าอัตราการไหลที่ได้ ส่วนสมการที่ 2.14 จะให้การหาเอนทัลปีที่เพิ่มเข้าในปริมาตรควบคุมที่ 2

#### 2.4.2 การควบแน่น (Condensation)

ในที่นี้ได้ใช้สมบัติของอากาศแห้งในการคำนวณภาระการทำงานของระบบ แต่ในการใช้งานจริงแล้วอากาศที่เข้าไปภายในหมวกกั้นนี้ออกนั้นมีความชื้นเข้ามาพร้อมกับอากาศด้วย ทั้งนี้เมื่อความชื้นของอากาศที่เข้ามายังระบบเพิ่มมากขึ้นทำให้เทอร์โมอิเล็กทริกต้องการใช้พลังงานในการทำควมเย็นมากขึ้นเนื่องจากว่าความจุความร้อนของน้ำมีค่ามากกว่าของอากาศ ที่สภาวะคงที่และอัตราการไหลเชิงมวลคงที่ในปริมาตรควบคุมดังรูปที่ 2.7 สามารถหาสมการพลังงานได้ดังสมการที่ 2.13

$$\dot{Q}_{CV} = \dot{m}_a [(h_{a2} - h_{a1}) + \omega(h_{v2} - h_{v1})] \quad (2.13)$$

โดยที่ตัวห้อย “a” แทนสมบัติของอากาศแห้ง ตัวห้อย “v” แทนสมบัติของไอน้ำและ  $\omega$  คืออัตราส่วนความชื้น หาได้จากสมการที่ 2.14

$$\omega = 0.622 \left( \frac{P_{v1}}{P - P_{v1}} \right) \quad (2.14)$$

#### 2.5 การถ่ายเทความร้อนจาก Heat Sink

สมการที่ใช้หาค่าความร้อนออกไปจากภายในหมวกกั้นนี้ออกขึ้นอยู่กับลักษณะของครีป(ความสูงและระยะห่างของครีป) และพื้นที่ของ Heat Sink คือสมการ 2.15

$$\dot{Q} = \bar{h}_c A (T_s - \bar{T}_b) \quad (2.15)$$

$\bar{h}_c$  คือ ค่าสัมประสิทธิ์การพาความร้อนเฉลี่ยของ Heat Sink หาได้จากการพาความร้อนภายในท่อสี่เหลี่ยม ดังสมการ 2.16



$$\bar{h}_c = \left( \frac{k}{D_h} \right) \bar{Nu}_{DH} \tag{2.16}$$

$D_h$  คือ พื้นที่หน้าตัดไฮดรอลิกภายในของท่อสี่เหลี่ยม ได้จากสมการ ที่ 2.17

$$D_h = \frac{4A_c}{P} \tag{2.17}$$

โดยที่  $A_c$  เป็นพื้นที่หน้าตัดภายในของท่อสี่เหลี่ยม

$P$  เป็นเส้นรอบรูปของท่อสี่เหลี่ยม

$\bar{Nu}_{DH}$  คือค่า Nusselt number หาได้จากตารางที่ 2.2 ค่า Nusselt number ที่ของไหลในท่อไม่กลมแบบลามินาร์ไม่ได้ขึ้นอยู่กับค่าเรย์โนลด์แต่ขึ้นอยู่กับอัตราส่วนระหว่างส่วนสูงของครีบและระยะห่างระหว่างครีบ

ตารางที่ 2.2 ค่า Nusslet number สำหรับการไหลเต็มท่อแบบลามินาร์ในท่อสี่เหลี่ยม [4]

Channel Ratio	$Nu_{Dh}$		$f Re_{Dh}$
	Constant Axial Wall Heat Flux	Constant Axial Wall Temperature	
1  1	3.6	2.976	57
1  1.4	3.8	3.1	59
1  2	4.1	3.4	62
1  3	4.8	4.0	69
1  4	5.3	4.4	73

ส่วนการไหลในท่อแบบปั่นป่วน ค่า Nusselt Number ขึ้นอยู่กับค่าเรย์โนลด์ โดยค่าเรย์โนลด์ที่ใช้คือ

$$Re = \frac{\rho v D_h}{\mu} \tag{2.18}$$

โดยที่  $\rho$  คือ ความหนาแน่นของของไหลที่ไหลในท่อ ( $kg/m^3$ )

$v$  คือ ความเร็วของของไหลในท่อ ( $m/s$ )

$D_h$  คือ พื้นที่หน้าตัดไฮดรอลิกภายในของท่อสี่เหลี่ยม ( $m^2$ )

$\mu$  คือ ความหนืดไดนามิกของของไหล ( $N.s/m^2$ )

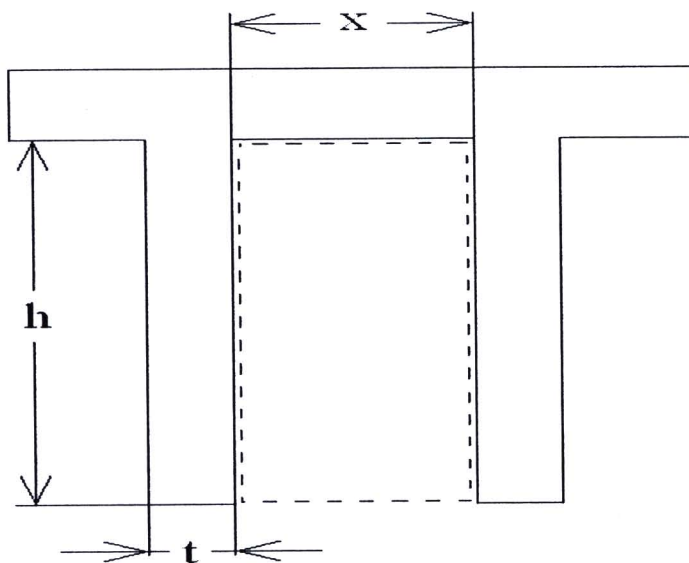


การไหลในท่อที่มีค่าเรย์โนลด์มากกว่า 2300 ขึ้นไป เป็นการไหลแบบปั่นป่วน  
ค่า Nusselt Number จะได้ดังสมการที่ 2.19

$$Nu = 0.023 R_e^{0.8} Pr^n \quad (2.19)$$

โดยที่  $n = 0.4$  สำหรับการให้ความร้อน (heating) และ  $0.3$  สำหรับการระบายความร้อน (cooling)

A คือ พื้นที่ที่ใช้ในการแลกเปลี่ยนความร้อนของครีบบหาได้จากสมการ 2.20



รูปที่ 2.8 ครีบบระบายความร้อน

$$A = nL(2h + x) \quad (2.20)$$

$n$  คือ จำนวนครีบบของ Heat Sink

$L$  คือ ความยาวของ Heat Sink

$x$  คือ ระยะห่างระหว่างครีบบของ Heat Sink

ผลต่างอุณหภูมิในสมการที่ 2.15  $T_s$  เป็นอุณหภูมิที่ผิวด้านเย็นของ Heat Sink และ  $\bar{T}_b$  คืออุณหภูมิเฉลี่ยขาเข้าและขาออกของ Heat Sink หาได้จากสมการที่ 2.21

$$\frac{T_{ab} + T_2}{2} \quad (2.21)$$

## 2.6 สถานะความสบายเชิงความร้อน[5]

ความสัมพันธ์ระหว่างอุณหภูมิ และความชื้นสัมพัทธ์ บ่งบอกถึงขอบเขตสถานะความสบาย พบว่า อุณหภูมิระหว่าง 22-27°C และความชื้นสัมพัทธ์ระหว่าง 20-75% ความรู้สึกร้อนหนาวที่เหมาะสม (Thermal Comfort) หมายถึง การควบคุมสภาพแวดล้อมให้อยู่เขตความสบายตามความต้องการผู้อยู่อาศัย โดยเน้นการใช้ระบบธรรมชาติให้มากที่สุด และการปรับปรุงช่วงที่อยู่นอกเขตสบาย เช่น ร้อนเกินไปด้วยระบบปรับอากาศหรือระบบเครื่องกลในส่วนน้อย จากการศึกษาพบว่าอิทธิพลของลม อุณหภูมิ และความชื้น มีผลโดยตรงต่อความรู้สึกร้อน หนาวที่เหมาะสม กล่าวคือ เมื่อกระแสลมที่พัดผ่านผิวหนังมีความเร็วเพิ่มขึ้น มนุษย์จะมีความรู้สึกเย็นลงกว่าอุณหภูมิที่เป็นจริง เป็นเพราะอัตราการระบายความร้อนออกจากผิวหนังแปรผันตามความเร็วลม ถ้ากระแสลมมีความเร็วสูง ทำให้รู้สึกเย็นลงกว่าอุณหภูมิที่วัดได้จริง ความแตกต่างระหว่างอุณหภูมิที่วัดได้จริงกับความรู้สึกเมื่อมีลมพัดผ่านผิวหนังนี้ (ในที่นี้เรียกว่าความรู้สึกเย็นลง) เมื่อนำมาวิเคราะห์หาความสัมพันธ์โดยใช้สมการถดถอยจะได้ ดังสมการที่ 2.22

$$\text{อุณหภูมิที่ลดลง (}^{\circ}\text{C)} = 0.381V + 0.0126RH \quad (2.22)$$

เมื่อ  $V$  คือ ความเร็วลม (km/h)

$RH$  คือ ความชื้นสัมพัทธ์ (%)

จากสมการอาจสรุปคร่าวๆ ได้ว่า ความเร็วลมเพิ่มขึ้น 1 km/h มนุษย์จะรู้สึกเย็นกว่าอุณหภูมิจริงประมาณ 0.4 °C และเมื่อนำเอาอากาศภายนอกซึ่งมีความชื้นสูงมาปรับสภาพให้อยู่ในเขตสบายภายในห้องปรับอากาศ ต้องใช้พลังงานจำนวนมหาศาลในการลดความชื้นในรูปของความร้อนแฝง (Latent Load) และลดอุณหภูมิในรูปของความร้อนสัมผัส (Sensible Load) เป็นต้น

## 2.7 งานวิจัยที่เกี่ยวข้อง

ได้มีการศึกษาการใช้เทอร์โมอิเล็กทริกในด้านต่างๆ เพื่อประโยชน์ในงานด้านวิศวกรรมอย่างต่อเนื่อง Wasserhter W. [6] ได้ศึกษาและพัฒนาตู้แช่วัคซีนตามองค์การอนามัยโลก โดยใช้ระบบทำความเย็นด้วยเทอร์โมอิเล็กทริก ขนาด 16 ตารางเซนติเมตร ใช้กำลังไฟฟ้าของแผงเซลล์แสงอาทิตย์มีค่าระหว่าง 30 วัตต์ ถึง 60 วัตต์ ขึ้นอยู่กับความเข้มของรังสีอาทิตย์โดยความร้อนทิ้งของระบบใช้การถ่ายเทให้สิ่งแวดล้อมซึ่งตู้วัคซีนนี้บรรจุภายใน 40 ลิตร มีผนังด้านในแบบ dewar vessel ทำจากแก้ว strong boro-silicate โดยเป็นผนังตู้แบบสุญญากาศที่สามารถลดการถ่ายความร้อนผ่านผนังตู้มากกว่า

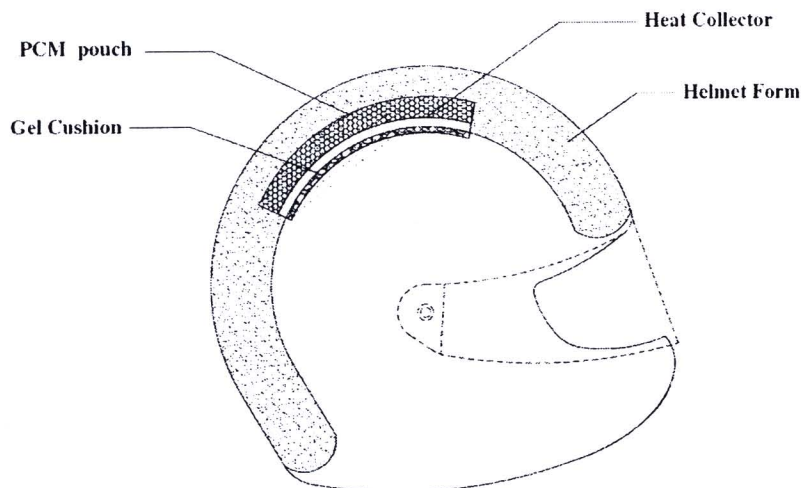
5 วัตต์ ที่อุณหภูมิแวดล้อม 43 °C โดยเก็บสะสมความเย็นในรูปของน้ำแข็งที่ช่องว่างด้านล่างของตู้แช่วัคซีน ซึ่งข้อดีของตู้แช่นี้ คือ การใช้ระบบทำความเย็นด้วยเทอร์โมอิเล็กทริกที่มีอายุการใช้งานสูงถึง 10 ปี มีขนาดกะทัดรัด มีการบำรุงรักษาต่ำเนื่องจากไม่มีชิ้นส่วนใดเคลื่อนไหว และเป็นเทคโนโลยีที่รักษาสิ่งแวดล้อม

Jack M. Bradley [7] ได้ทำการติดตั้งตู้แช่วัคซีนพลังงานแสงอาทิตย์ ณ Heawanai Health Center ประเทศปาปัวนิวกินี เพื่อบรรจุวัคซีนรักษาโรค เช่น โรคปาลิโอ วัณโรค โรคคอตีบ โรคดีบ โรคหัด โรคบาดทะยัก เป็นต้น ซึ่งก่อนที่จะมีการใช้ตู้แช่วัคซีนพลังงานแสงอาทิตย์นั้นวัคซีนที่ถูกส่งมาจะเสื่อมคุณภาพถึง 70% โดยส่วนประกอบที่สำคัญของระบบตู้แช่วัคซีนพลังงานแสงอาทิตย์ที่ใช้คือตู้เย็นมีความจุขนาด 30 ลิตร สามารถผลิตน้ำแข็งได้ 17 ลิตรต่อวัน โครงสร้างคอมเพลกซ์เซอร์ 12 โวลต์ จำนวน 2 ชุด แบตเตอรี่ 12 โวลต์ 100 แอมป์แปร์ – ชั่วโมง จำนวน 2 ชุด อุปกรณ์ควบคุมการประจุและแผงเซลล์แสงอาทิตย์สำหรับบรรจุแบตเตอรี่ขนาด 175 วัตต์ โดยตู้แช่วัคซีนพลังงานแสงอาทิตย์ตัวนี้สามารถบรรจุวัคซีนเพื่อรองรับผู้ป่วยได้ถึง 10,000 คนต่อเดือน

วีรชัย เติศตภาพรสข[8] ได้ประยุกต์การทำความเย็นโดยใช้เทอร์โมอิเล็กทริกในการทำตู้แช่วัคซีนและรับแหล่งพลังงานไฟฟ้าตรงจากเซลล์แสงอาทิตย์ ใช้ค่าแรงดันและกระแสไฟฟ้าสูงสุด 13.5 V 4.4 A มีการถ่ายเทความร้อนสูงสุด 36 วัตต์ การศึกษาพบว่าสามารถลดอุณหภูมิจาก 25 องศาเซลเซียส มาที่ 4 องศาเซลเซียส ใช้เวลา 2 ชั่วโมง 30 นาที ค่าการใช้ไฟฟ้า 50.5 วัตต์

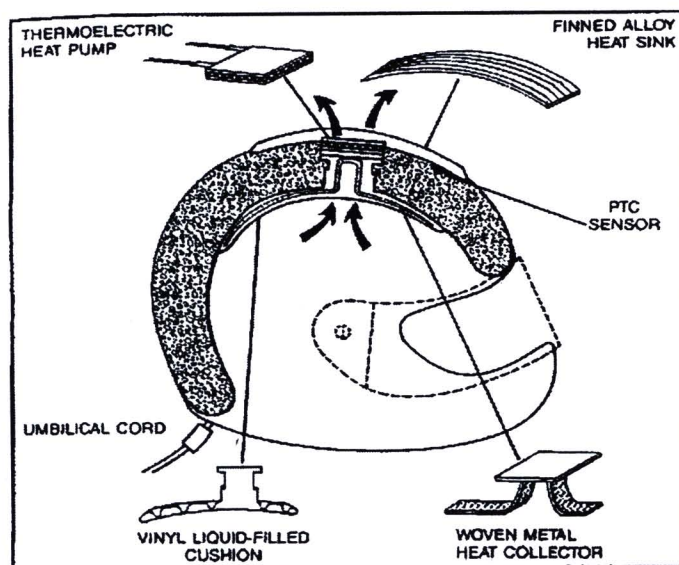
ศตวรรษ ทองรักษา[9] ได้ทำการศึกษาสมรรถนะของระบบปรับอากาศโดยใช้เทอร์โมอิเล็กทริก ร่วมกับสารดูดความชื้น คือซิลิกาเจล อากาศที่ได้จากด้านร้อนของเทอร์โมอิเล็กทริก ถูกใช้ในการกินรูปของซิลิกาเจล ผลการศึกษาพบว่าการใช้สารดูดความชื้นสามารถเพิ่มค่าสมรรถนะการทำความเย็น (COP) ของเทอร์โมอิเล็กทริกในการปรับอากาศจาก 0.76 เป็น 1.94

Fok, S และ Tan, F [1] ได้ศึกษาและออกแบบระบบทำความเย็นในหมวกกันน็อก โดยใช้วิธีการเปลี่ยนสถานะของวัสดุ (Phase change material (PCM)) โดยการใช้โซเดียมซัลเฟตฝังไว้ในหมวกกันน็อก ความร้อนจากศีรษะจะส่งผ่านมายังวัสดุโซเดียมซัลเฟตโดยผ่านแผ่นรับความร้อนที่ฝังไว้ระหว่างศีรษะกับแผ่นโซเดียมซัลเฟต แผ่นโซเดียมซัลเฟตนี้มีระยะเวลาการใช้งานประมาณ 2 ชั่วโมง สามารถดึงความร้อนได้ประมาณ 15 W เมื่อหมดระยะเวลาการใช้งานก็สามารถถอดออกมาแช่น้ำหรือวางทิ้งไว้ที่อุณหภูมิห้อง เพื่อที่จะทำให้วัสดุมีสมบัติที่จะดูดความร้อนได้เพื่อที่จะนำกลับไปใช้ได้อีก



รูปที่ 2.9 Phase change material cooled helmet [Fok, S & Tan, F][1]

Buist and Streitwieser [2] ได้ใช้เทอร์โมอิเล็กทริกระบายความร้อนในหมวกกันน็อกโดยการปั๊มผ่านแผ่นรับความร้อนจากศีรษะ โดยการนำความร้อนผ่านแผ่นทองแดงที่หุ้มด้วยไวนิลไป ผ่านตัวเทอร์โมอิเล็กทริก แล้วระบายความร้อนออกทางศรีระบายความร้อนด้านนอกหมวกกันน็อก แล้วทำการทดลองกับผู้สวมใส่ ทดลองที่ความเร็ว 40 km/h สามารถอุณหภูมิของแผ่นเย็นได้ 16°C เมื่อเปรียบเทียบกับอุณหภูมิแวดล้อม



รูปที่ 2.10 Thermoelectrically cooled helmet

[Buist and Streitwieser] [2]